

669, 046, 564, 5 : 541, 123, 28 : 669, 787

(60)

酸素ガスジェットの溶融金属への吸収速度

70060

新日本製鐵(株) 八幡製鐵所 ○松島美継
名古屋大学工学部 森一美

1. 緒言 L口転炉のように、浴面に吹付けられた高速ガスジェットから吸収が行なわれる特殊な気液系におけるガス吸収の機構を解明するため、溶融銀に酸素ガスジェットを吹付け実験を行ない、ガス吸収速度と吹付け条件の関係について検討した。

2. 実験方法 カンタル線抵抗炉を用い、内径38mm、深さ150mmのシルターマライトろっぽに銀を溶解する。酸素ガスは予熱し、アルミナ保護管の先端に1mmの孔を開けたノズルを通してメタルに吹付けあるいは吹込みを行なった。浴中の酸素濃度変化は $ZrO_2 \cdot CaO$ 固体電解質による起電力法を用いて自動記録させた。溶解銀量は大部分の実験で230g、温度は1050°Cとした。実験は、酸素流量 $Q_{O_2} = 1 \sim 12 \text{ NL/min}$ 、ノズル先端の浴面からの距離 $h = -10 \sim 20 \text{ mm}$ について行なった。

3. 結果および考察 酸素ジェットの吹付けが弱いときは浴面に安定したくぼみを生ずるが、吹付けが強くなると、くぼみは不安定になり、浴面は振動し、気泡まきこみと飛沫現象がおこる。また吹付けが弱いところでは、浴内酸素濃度は不均一で、以下は均一濃度になる条件下での結果について検討した。

浴中酸素濃度の経時変化は、気泡のまきこみがおこる条件下において初期の[%O]の低いところを除いて(1)式で表わされる。

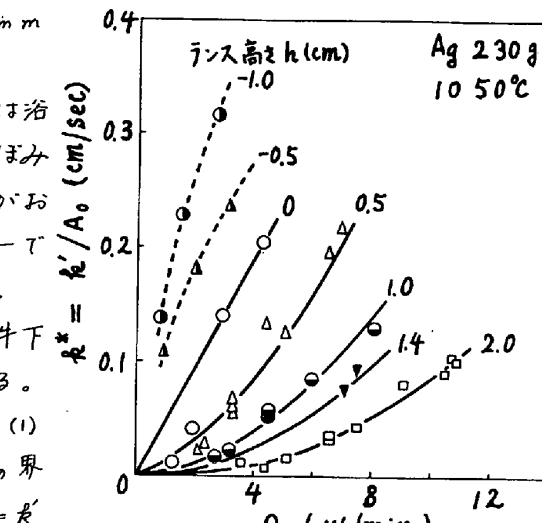
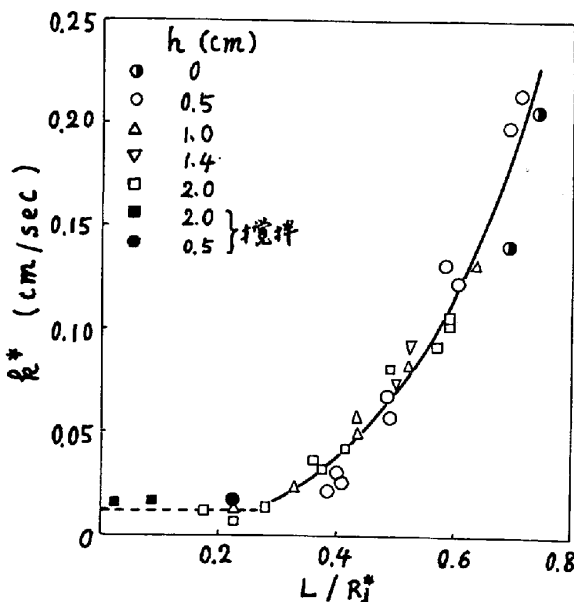
$$\frac{d[\% O]}{dt} = (\lambda' / V) ([\% O]_e - [\% O]) \quad (1)$$

ここで、 $[\% O]_e$ は $P_{O_2} = 1 \text{ atm}$ に対する平衡値である。また、真の界面積は不明であり、比較のため見かけの速度恒数として $\lambda^* = \lambda' / A_0$ (A_0 : ろっぽの断面積) をとり結果を整理した。

図1に λ^* と Q_{O_2} 、 h の関係をまとめて示した。これからジェットの吹付け強さが酸素の吸収速度に決定的に影響することがわかる。ジェットの運動量 M と浴のくぼみ深さ L の関係は(2)式で算出することができます。

$$M / \rho_{Ag} g h^3 = (\pi / 2 \times K_1^2) (L / R_j) (1 + L / R_j)^2 \quad (2)$$

$T = T^*$ でし、 K_1 は定数で実験から求められる。本実験の結果は、この L のみでは整理できることがわかる。そこでジェットの運動エネルギーがノズル出口の 1% となるジェットの半径を R_j^* とし、 L / R_j^* とすれば、各条件における結果は図2のように一つの曲線でまとめて表わされた。この L / R_j^* はジェットの鋭度を表わしており、これが大きいほど、鋭いジェットが浴にはいりこみ、くぼみ面の乱れや気泡のまきこみがおこりやすい状態となり、その結果、 λ^* が増大するものと考えられる。なお図1, 2 の実線は、実験式 $\lambda^* = 4.3 (L / R_j^*)^{2.5}$ を示したものである。

図1. 速度恒数 λ^* と Q_{O_2} , h の関係図2. 速度恒数 λ^* と L / R_j^* の関係